

第 79 篇 制冷设备与空气分离设备

(试用本)

机械工程手册 编辑委员会
电机工程手册



机械工业出版社

TH-62
3
3:79

机械工程手册

第79篇 制冷设备与空气分离设备 (试用本)

机械工程手册 编辑委员会
电机工程手册



机械工业出版社

本篇第1至5章为制冷设备部分，介绍各种制冷机的原理，制冷循环的热力计算，制冷剂和载冷剂的性能和选择，各类制冷压缩机和装置的结构、性能和设计计算，以及制冷系统的设计。

第6至17章为空气分离设备部分，介绍空气分离基本原理，空分设备流程，精流设备、低温换热器、净化设备、活塞式及透平膨胀机、低温液体泵等的结构和设计计算，以及稀有气体的提取，气、液贮存和运输，操作安全技术等。

机械工程手册

第79篇 制冷设备与空气分离设备

(试用本)

第一机械工业部合肥通用机械研究所 主编
杭州制氧机研究所

*

机械工业出版社出版(北京阜成门外百万庄南街一号)

(北京市书刊出版业营业许可证出字第117号)

机械工业出版社印刷厂印刷

新华书店北京发行所发行·新华书店经售

*

开本 787×1092^{1/16} · 印张 19^{3/4} · 字数 550 千字

1980年10月北京第一版 · 1980年10月北京第三次印刷

印数 00,001—17,600 · 定价 1.45 元

*

统一书号：15033·4657



编 辑 说 明

(一) 我国自建国以来，机械工业在毛主席的革命路线指引下，贯彻“独立自主、自力更生”和“洋为中用”的方针，取得了巨大的成就。为了总结广大群众在生产和科学方面的经验，同时采用国外先进技术，加强机械工业科学技术的基础建设，适应实现“四个现代化”的需要，我们组织编写了《机械工程手册》和《电机工程手册》。

(二) 这两部手册主要供广大机电工人、工程技术人员和干部在设计、制造和技术革新中查阅使用，也可供教学及其他有关人员参考。

(三) 这两部手册是综合性技术工具书，着重介绍各专业的基础理论，常用计算公式、数据、资料，关键问题以及发展趋势。在编写中，力求做到立足全局，勾划概貌，反映共性，突出重点。在内容和表达方式上，力求做到深入浅出，简明扼要，直观易懂，归类便查。读者在综合研究和处理技术问题时，《手册》可起备查、提示和启发的作用。它与各类专业技术手册相辅相成，构成一套比较完整的技术工具书。《机械工程手册》包括基础理论、机械工程材料、机械设计、机械制造工艺、机械制造过程的机械化与自动化、机械产品六个部分，共七十九篇；《电机工程手册》包括基础理论、电工材料、电力系统与电源、电机、输变电设备、工业电气设备、仪器仪表与自动化七个部分，共五十篇。

(四) 参加这两部手册编写工作的，有全国许多地区和部门的工厂、科研单位、大专院校等五百多个单位、两千多人。提供资料和参加审定稿件的单位和人员，更为广泛。许多地区

的科技交流部门，为审定稿件做了大量的工作。各篇在编写、协调、审查、定稿各个环节中，广泛征求意见，发挥了广大群众的智慧和力量。

(五) 为了使手册早日与读者见面，广泛征求意见，先分篇出版试用本。由于我们缺乏编辑出版综合性技术工具书的经验，试用本在内容和形式方面，一定会存在不少遗漏、缺点和错误。我们热忱希望读者在试用中进一步审查、验证，提出批评和建议，以便今后出版合订本时加以修订。

(六) 本篇是《机械工程手册》第79篇，包括制冷设备和空气分离设备两部分。制冷设备部分由第一机械工业部合肥通用机械研究所主编，参加编写的有西安交通大学、上海机械学院、华中工学院、上海交通大学、大连海运学院、上海第一冷冻机厂、武汉冷冻机厂、上海制冷设备厂。空气分离设备部分由杭州制氧机研究所主编，参加编写的有西安交通大学、开封空分设备厂、四川空分设备厂、杭州制氧机厂、第一机械工业部第一设计院。许多有关单位对编审工作给予大力支持和帮助，在此一并致谢。

机械工程手册 编辑委员会编辑组
电机工程手册

常用符号表

制冷设备

A_l	单位压缩功热当量 kcal/kg
a	音速 m/s
c	比热 kcal/(kg·°C)
c	气流绝对速度 m/s
D, d	直径 m、mm
F	热交换面积 m^2
F	力 kgf
G	质量流量 kg/h
G_H	高温级质量流量 kg/h
G_L	低温级质量流量 kg/h
g	重力加速度 m/s^2
H	压头 m
I	惯性力 kgf
h	比焓 kcal/kg
k	传热系数 kcal/(m ² ·h·°C)
K_e	单位轴功率制冷量 kcal/(kW·h)
l	单位功 kgf·m/kg
M	分子量
M	马赫数
m	多变指数
N	功率 kW
n	转速 r/min
n	管数或其他数目
p	绝对压力或表压力 kgf/cm ² , ata, atg
p_m	中间压力 kgf/cm ²
\bar{p}	比压 kgf/cm ²
Q	热负荷 kcal/h
q	单位热负荷 kcal/kg
q_a	吸收器单位热负荷 kcal/kg
q_F	单位面积热负荷 kcal/(m ² ·h)
q_h	发生器单位热负荷 kcal/kg
q_k	冷凝器单位热负荷 kcal/kg
q_o	单位制冷量 kcal/kg
q_v	单位容积制冷量 kcal/m ³
R	气体常数 kgf·m/(kg·K)
S	活塞行程 m、mm
s	比熵 kcal/(kg·K)
T	绝对温度 K
t	温度 °C

t_f	凝固温度 °C
t_g	工作蒸汽温度 °C
t_s	沸点 °C
t_{s1}	制冷水进口温度 °C
t_{s2}	制冷水出口温度 °C
Δt	温度差 °C
Δt_m	对数平均温差 °C
u	线速度 m/s
u	单位内能 kcal/kg
V	体积流量 m^3/h
v	比容 m^3/kg
w	流速或相对流速 m/s
x	蒸气的干度 kg/kg
y	高、低温级质量流量比 kg/kg
Z	压缩性系数
α	放热系数 kcal/(m ² ·h·°C)
γ	重度 kgf/l (液), kgf/m ³ (气)
δ	壁厚 mm
ϵ	制冷系数
ε	压缩比 (透平机械的)
ζ	阻力系数
η	效率
η	热力完善度
κ	绝热指数
λ	导热系数 kcal/(m·h·°C)
λ	容积式压缩机吸气系数
λ_v	容积式压缩机的容积系数
λ_p	容积式压缩机的压力系数
λ_t	容积式压缩机的温度系数
λ_c	容积式压缩机的泄漏系数
ρ	密度 kg/m ³
$[\sigma]$	许用应力 kgf/cm ²
r	压缩比 (容积式压缩机)
φ	空气的相对湿度
ω	角速度 rad/s
下角标	
ad	绝热过程的
c	临界的
i	指示的
k	冷凝侧的
m	平均的、中间的、机械的

\max ——最大的
 \min ——最小的
 \circ ——蒸发侧的
 p ——等压过程的
 pol ——多变过程的
 t ——等温的
 th ——理论的

空气分离设备

A ——表面积 m^2 ; 功热当量 $kcal/(kgf \cdot m)$ (第7章)
 a ——横截面积 m^2
 c ——比热 $kcal/(kg \cdot ^\circ C)$; 气体绝对速度 m/s (第7~9章)
 c^* ——容积比热 $kcal/(Nm^3 \cdot ^\circ C)$
 c ——公斤分子比热 $kcal/(kmol \cdot ^\circ C)$
 D ——直径 m
 d ——含湿量 g/kg ; 直径 (d_o ——外径; d_i ——内径; d_e ——当量直径)
 G ——流体的质量流量 kg/h
 g ——重力加速度 m/s^2
 g_c ——换算因数 $g_c = 9.81 kg \cdot m/(kgf \cdot s^2)$
 H ——高度 m
 h ——比焓 (单位质量焓) $kcal/kg$
 h^* ——容积焓 $kcal/Nm^3$
 h ——公斤分子焓 $kcal/kmol$
 k ——传热系数 $kcal/(m^2 \cdot h \cdot ^\circ C)$
 L ——液体流量 (第8~9章) m^3/h
 l ——长度 m
 M ——分子量
 m ——质量 kg
 N ——功率 kW ; 总理论平衡级数 (第9、15章)
 n ——平衡级数 (第9、15章), 转速 r/min ; 多变指数 (第12、13章)
 p ——压力 atm 、 ata 、 atg
 p ——分压力 atm 、 ata
 Q ——热量 $kcal$; 热流量 $kcal/h$; 流量 m^3/h
 q ——单位质量热量 $kcal/kg$,
 热流密度 $kcal/(m^2 \cdot h)$
 R ——气体常数 $kgf \cdot m/(kg \cdot ^\circ C)$
 r ——汽化潜热 $kcal/kg$; 半径 m
 s ——比熵 (单位质量熵) $kcal/(kg \cdot K)$
 T ——绝对温度 K
 t ——摄氏温度 $^\circ C$
 u ——圆周速度 m/s
 V ——容积 m^3 ; 汽体流量 m^3/h

v ——比容 m^3/kg
 W ——膨胀功 $kgf \cdot m$
 w ——单位质量膨胀功 $kgf \cdot m/kg$; 流速 m/s
 w_m ——单位质量机械功 $kgf \cdot m/kg$
 x ——液体组成
 y ——汽体组成
 Z_L ——液化系数
 z ——压缩系数
 Δh ——焓差 $kcal/kg$
 Δh_r ——等温节流效应
 Δp ——压力差
 $\Delta T, \Delta t$ ——温差 K 或 $^\circ C$
 α ——放热系数 $kcal/(m^2 \cdot h \cdot ^\circ C)$
 α_h ——节流效应 $^\circ C/atm$
 α_s ——等熵效应 $^\circ C/atm$
 β ——氧提取率
 γ ——重度 (单位体积所受的重力) kgf/m^3
 ϵ ——制冷系数
 η ——效率
 η_s ——绝热效率
 κ ——绝热指教
 λ ——导热系数 $kcal/(m \cdot h \cdot ^\circ C)$
 μ ——动力粘度 $kgf \cdot s/m^2$
 ν ——运动粘度 m^2/s
 ρ ——密度 kg/m^3
 σ ——表面张力 kgf/m
 τ ——时间 s
 φ ——相对湿度

上角标

0 ——理想的
 $'$ ——液相的或不可逆过程的终态
 $''$ ——气相的

下角标

0 ——标准状态或低温侧
 $1, 2, 3$ ——制冷循环或流程上的位置或经过的时间
 c ——临界状态
 e ——当量的
 f ——馏分
 h ——等焓过程
 i ——任一组分
 k ——空气
 L ——液相
 m ——质量或机械的
 m ——平均的
 p ——压力或膨胀过程
 r ——对比状态

79-XIII 常用符号表

s	饱和状态或等熵过程	N_2'	污氮
t	温度或等温过程	H_2O	水蒸汽
V	汽体	CO_2	二氧化碳
v	定容的	C_2H_2	乙炔
\max	最大	NH	氮氦 ($NeHe$)
\min	最小	KX	氪氙 ($KrXe$)
Ar	氩气	L_{O_2}	液氧
O_2	氧气	L_{N_2}	液氮
N_2	氮气	L_K	液空

目 录

编辑说明

常用符号表

制 冷 设 备

第 1 章 制冷机概述

第 2 章 蒸气压缩式制冷机

1 循环	79-2	6 冷凝器和蒸发器	79-66
1·1 单级循环	79-2	6·1 冷凝器	79-66
1·2 两级循环	79-9	6·2 蒸发器	79-71
1·3 复叠式循环	79-12	6·3 冷凝器和蒸发器的概算	79-76
2 制冷剂、载冷剂和润滑油	79-13	7 辅助设备	79-80
2·1 制冷剂的种类	79-13	7·1 节流机构	79-80
2·2 制冷剂的性质	79-16	7·2 贮液器	79-80
2·3 载冷剂	79-25	7·3 油分离器	79-81
2·4 润滑油	79-26	7·4 集油器	79-81
3 活塞式制冷压缩机	79-26	7·5 氨液分离器	79-81
3·1 分类	79-26	7·6 低压循环贮液器和低压贮液器	79-81
3·2 热力过程	79-27	7·7 中间冷却器	79-82
3·3 主要参数和总体结构	79-29	7·8 回热器	79-82
3·4 设计条件和基本参数	79-30	7·9 空气分离器	79-82
3·5 运动部件的结构	79-35	7·10 过滤器	79-82
3·6 气阀和能量调节机构组	79-37	7·11 干燥器	79-83
3·7 润滑	79-39	7·12 紧急泄氨器	79-83
4 离心式制冷机	79-40	7·13 阀	79-83
4·1 概述	79-40	7·14 容器强度设计	79-84
4·2 结构	79-42	8 自动控制元件	79-86
4·3 热力计算	79-48	8·1 流量控制阀	79-86
4·4 特性和调节	79-55	8·2 温度控制器	79-92
5 螺杆式制冷机	79-57	8·3 压力控制器	79-93
5·1 概述	79-57	8·4 浮球液位控制器	79-94
5·2 结构	79-58	8·5 其他控制元件	79-95
5·3 设计计算	79-59	9 制冷系统与管路	79-96
5·4 油路系统	79-65	9·1 制冷系统	79-96
5·5 典型产品特性	79-66	9·2 制冷管路设计	79-100

第 3 章 吸收式制冷机

1 溴化锂吸收式制冷机	79-106
1·1 工作原理	79-106

79-VI 目 录

1·2 结构型式	79-111	3 辅助喷射器	79-120
1·3 运行特性与能量调节	79-112	4 蒸发器	79-122
1·4 防腐	79-113	5 冷凝器	79-124
1·5 提高热力系数的途径	79-113	5·1 蒸发式冷凝器	79-124
1·6 溴化锂吸收式制冷机的特殊型式	79-114	5·2 表面式冷凝器	79-124
2 氨-水吸收式制冷机	79-115	5·3 混合式冷凝器	79-124
第4章 蒸汽喷射式制冷机			
1 工作原理	79-117	6 工作特性	79-124
2 主喷射器	79-118	6·1 冷凝压力的影响	79-124
2·1 喷嘴	79-119	6·2 工作蒸汽参数的影响	79-125
2·2 扩压器	79-119	6·3 蒸发温度的影响	79-125

空 气 分 离 设 备

第6章 空分设备概述

1 空气的组成	79-127
2 空分设备的特点及其分类	79-127
2·1 空分设备的主要特点	79-127
2·2 空分设备主要分类	79-128
2·3 空分设备参数系列	79-128
3 空分设备的基本过程及其配套	79-129
3·1 基本过程	79-129
3·2 空分设备系统的构成	79-129
3·3 主要配套机组	79-129
4 发展趋向	79-130

第7章 空气分离的基本原理

1 实际气体在低温时的热力性质	79-130
1·1 实际气体在低温时的基本热力性质	79-130
1·2 获得低温的方法	79-132
1·3 冷量计算方法	79-133
1·4 实际气体在低温时的物性图表	79-134
2 精馏的溶液热力学基础	79-146
2·1 溶液热力学基本关系	79-146
2·2 精馏原理	79-147
2·3 有关汽-液平衡的相平衡图	79-148
3 深冷循环	79-155
3·1 气体分离的最小功	79-155
3·2 气体液化最小功	79-155

3·3 利用节流效应为基础的循环	79-156
3·4 以等熵膨胀为基础的循环	79-158
3·5 气体制冷循环	79-160

第8章 空分设备流程

1 流程选择	79-161
1·1 原理流程	79-161
1·2 流程组织中有关问题分析	79-163
2 流程计算程序与参数选择	79-164
2·1 物料衡算	79-164
2·2 热量衡算	79-165
2·3 计算程序	79-166
3 典型空分设备	79-168
3·1 生产气体产品的空分设备流程	79-168
3·2 生产液体产品的空分设备流程	79-170
4 低温管道设计	79-171
4·1 低温管道	79-171
4·2 低温管道的温度补偿	79-171
4·3 低温管道配置	79-172

第9章 精馏设备

1 氧-氮二元混合物精馏计算	79-173
1·1 物料衡算及操作线方程式	79-173
1·2 下塔图解计算	79-173
1·3 上塔图解计算	79-174
1·4 回流比及塔板数极限	79-175

目 录 79-VII

1.5 塔效率	79-175	2 吸附干燥器	79-197
2 氧-氩-氮三元混合物精馏计算	79-175	2.1 干燥方法	79-197
2.1 氩组分的假设值	79-176	2.2 吸附剂及其性能	79-199
2.2 计算起点的选择	79-176	2.3 常温分子筛的共吸附	79-199
2.3 液体节流后汽液相浓度的变化	79-176	2.4 吸附干燥器设计计算	79-200
2.4 液空进口位置	79-177	3 低温吸附器	79-201
2.5 膨胀空气进口位置	79-177	3.1 低温二氧化碳吸附器	79-201
2.6 计算过程中可能发生的问题	79-177	3.2 低温乙炔吸附器	79-202
3 塔设备结构	79-177		

3.1 篦板塔

3.2 泡罩塔

3.3 填料塔

4 流体力学计算	79-180
----------	--------

4.1 篦孔塔板流体力学状况

4.2 精馏塔水力学计算

第10章 低温换热器

1 盘管式换热器	79-183
----------	--------

1.1 结构概述

1.2 设计计算

1.3 结构设计

2 板翅式换热器	79-185
----------	--------

2.1 结构特性

2.2 设计计算

3 可逆式换热器	79-188
----------	--------

3.1 设计计算

3.2 自清除和切换时间

3.3 单元组合方法

4 石头填料蓄冷器	79-190
-----------	--------

4.1 结构概述

4.2 填料

4.3 设计计算

5 冷凝蒸发器	79-193
---------	--------

5.1 长管式冷凝蒸发器设计计算

5.2 短管式冷凝蒸发器设计计算

5.3 板翅式冷凝蒸发器

第11章 净化设备

1 空气过滤器	79-196
---------	--------

1.1 常温过滤器

1.2 低温过滤器

第12章 活塞式膨胀机

1 活塞式膨胀机工作过程和制冷量	79-203
------------------	--------

1.1 工作过程

1.2 制冷量

2 活塞式膨胀机热力计算	79-205
--------------	--------

2.1 热力计算

2.2 冷量损失

3 活塞式膨胀机结构	79-209
------------	--------

3.1 总体结构

3.2 主要部件结构

3.3 安全机构

4 活塞式膨胀机制冷量调节	79-216
---------------	--------

第13章 透平膨胀机

1 透平膨胀机分类及膨胀过程	79-217
----------------	--------

1.1 透平膨胀机分类

1.2 通流部分及膨胀过程

2 通流部分热力-气动设计基础	79-218
-----------------	--------

2.1 通流部分各元件的流动特征

2.2 透平膨胀机效率和制冷量

3 通流部分热力-气动设计	79-223
---------------	--------

3.1 基本参数选择

3.2 热力-气动设计

3.3 透平膨胀机选型

4 透平膨胀机结构设计	79-226
-------------	--------

4.1 工作特点

4.2 总体结构型式

4.3 主要零部件结构设计

4.4 中高压透平膨胀机

5 透平膨胀机特性和调节	79-232
--------------	--------

5.1 透平膨胀机特性

5.2 冷量调节方法

第14章 低温液体泵

1 离心式低温液体泵计算	79-235
1·1 泵转速确定	79-235
1·2 泵比转数确定	79-236
1·3 螺旋式诱导轮计算	79-236
2 往复式低温液体泵计算	79-238
2·1 流量	79-238
2·2 轴功率	79-238
3 低温液体泵结构设计	79-238
3·1 结构设计	79-238
3·2 低温泵主要零部件常用材料	79-243

第15章 稀有气体的提取

1 氩的提取	79-244
1·1 粗氩的提取	79-244
1·2 粗氩除氧	79-246
1·3 工艺氩除氯	79-247
1·4 吸附法制取纯氩	79-247
2 氮氦的提取	79-248
2·1 粗氮氦气的提取	79-248
2·2 粗氮氦气除氮	79-248
2·3 纯氮氦气的分离	79-249
3 氦氩的提取	79-249
3·1 粗氦氩气的提取	79-249
3·2 氦氩分离	79-250

附录

附录 1 HN ₃ 的饱和液体和饱和蒸气热力性质表	79-269
附录 2 R11 的饱和液体和饱和蒸气热力性质表	79-271
附录 3 R12 的饱和液体和饱和蒸气热力性质表	79-272
附录 4 R13 的饱和液体和饱和蒸气热力性质表	79-275
附录 5 R14 的饱和液体和饱和蒸气热力性质表	79-276
附录 6 R22 的饱和液体和饱和蒸气热力性质表	79-278
附录 7 R113 的饱和液体和饱和蒸气热力性质表	79-280

3·3 氖的纯化 79-251

第16章 贮存和运输

1 钢瓶	79-252
2 贮气器	79-252
3 贮液器	79-254
4 汽化器	79-256
5 输液管道	79-257

第17章 安全技术

1 空分设备的防爆	79-261
1·1 空分塔的爆炸及其原因	79-261
1·2 大气中可能存在的爆炸危险杂质及其性质	79-261
1·3 爆炸危险杂质在空分条件下的相对危险性	79-264
1·4 爆炸危险杂质许可含量的控制	79-265
1·5 爆炸危险杂质净化方法	79-265
1·6 爆炸危险杂质分析	79-265
2 一般性安全技术	79-267
2·1 在空分工作条件下主要安全注意事项	79-267
2·2 防止静电积聚	79-267
2·3 与氧接触设备和氧气压缩、充装、储运中的安全措施	79-267

录

附录 8 R142 的饱和液体和饱和蒸气热力性质表	79-280
附录 9 R502 的饱和液体和饱和蒸气热力性质表	79-281
附录10 乙烷的饱和液体和饱和蒸气热力性质表	79-283
附录11 丙烷的饱和液体和饱和蒸气热力性质表	79-284
附录12 乙烯的饱和液体和饱和蒸气热力性质表	79-285
附录13 丙烯的饱和液体和饱和蒸气热力性质表	79-286
附录14 NH ₃ 压焓图	79-287
附录15 R11 压焓图	79-288

目 录 79-IX

附录16 R12 压焓图	79-289	附录23 甲烷压焓图	79-296
附录17 R13 压焓图	79-290	附录24 乙烷压焓图	79-297
附录18 R14 压焓图	79-291	附录25 丙烷压焓图	79-298
附录19 R22 压焓图	79-292	附录26 乙烯压焓图	79-299
附录20 R113 压焓图	79-293	附录27 丙烯压焓图	79-300
附录21 R142 压焓图	79-294	参考文献	79-301
附录22 R502 压焓图	79-295		

制 冷 设 备

第1章 制冷机概述

从低于环境温度的物体中吸取热量，并将其转移给环境介质的过程，称为制冷。单位时间内从低温物体吸取的热量称为制冷量。

热力学第二定律指出：热量不能自发地从低温物体传给高温物体。因此，实现制冷需要消耗能量，如电能、热能、机械能等。制冷设备是指完成制冷循环所必需的各种设备的总称，习惯上简称制

冷机。在制冷机内，参与热力过程变化的工质称为制冷剂。依靠制冷剂状态的变化，实现能量转换和热量转移。

制冷机广泛应用于国民经济各部门。表79·1-1 和图 79·1-1 列出各类制冷机的特点、适用的冷量和温度范围。

表79·1-1 制冷机的种类及各类制冷机的特点

制 冷 机 种 类		常用制冷剂	适 用 温 度 ℃	单机制冷量 10^4 kcal/h	主 要 用 途
压 缩 式 制 冷 机	蒸 气 压 缩 式	活 塞 式 NH ₃ 、R12、R22、 R13、R14、R502	-120以上	全封闭 0.01~5	农业、医药卫生用的小型制冷设备、 冰箱和空调器
				高速多缸型 0.5~44	机械、化工、电子、建筑、商业中 用的冷却、冷藏和空调设备
				对称平衡型 35~150	石油、化工工艺用冷却设备
	离 心 式	R11、R12、R113、 R114、NH ₃ 、C ₃ H ₆ 、 C ₃ H ₈ 、CH ₄	-160以上	15~3000	石油、化工、纺织工业中工艺用冷 却设备，大型建筑空调设备
				2~500	石油、化工、商业、交通运输中用 的冷却、冷藏和空调设备
	螺 杆 式	NH ₃ 、R12、R22、 R502	-80以上	大型：1.5~58	商业、交通运输中的冷却和冷藏设 备
				小型：0.01~1.5	商业中的小型制冷设备，冰箱和空 调器
	气 体 压 缩 式	滑 片 式 滚 动 转 子 式	R12、R22、R502、 NH ₃	-30以上	航空、电子仪表工业中的环境模拟 和空调设备
				-100~-253	液氮、液氦设备，红外技术、超导 技术中的超低温设备
吸 收 式 制 冷 机	氨水吸收式	NH ₃ -H ₂ O	-65以上	0.9~600	化工工艺用的冷却设备
	溴化锂吸收式	LiBr-H ₂ O	0以上	1.1~600	各种工业用空调和大型民用空调或 工艺用低温水设备
	吸收扩散式	NH ₃ -H ₂ O-H ₂	-20以上	0.001~0.01	小型冰箱
蒸 汽 喷 射 式 制 冷 机		H ₂ O	0以上	3~300	冶金、纺织、化工中的空调和工艺 用低温水设备
半 导 体 制 冷			-120以上	0.001~3	医 用 和 仪 器 用 小 型 制 冷 设 备， 舰 船 中 的 冷 却 和 空 调

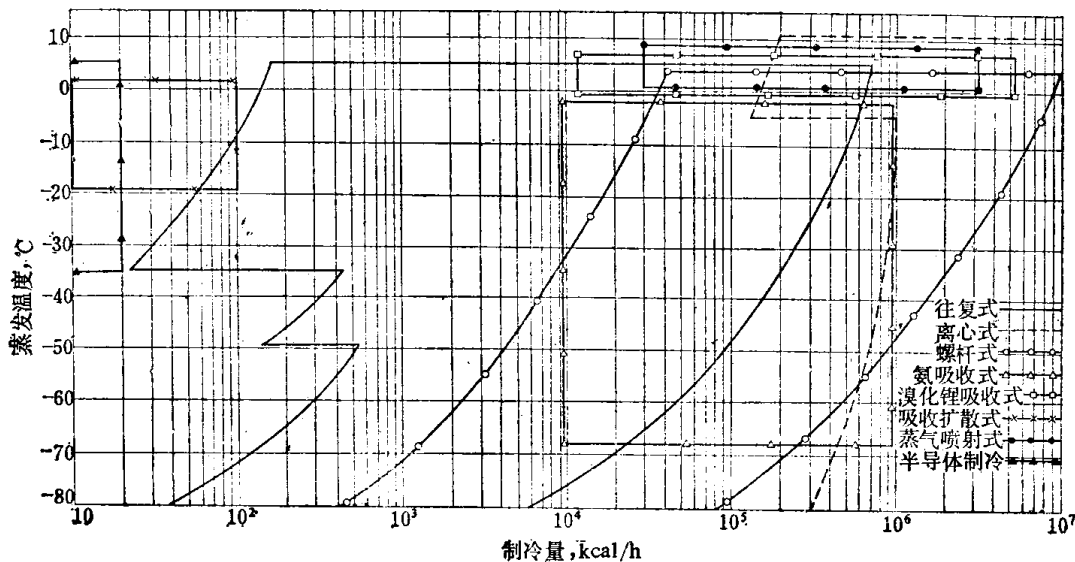


图79·1-1 各类制冷机常用的温度和制冷量范围

注：活塞式中不包括对称平衡型。

第2章 蒸气压缩式制冷机

1 循环

1.1 单级循环

1.1.1 无回热循环

a. 理论循环 满足下列三个简化条件的循环称为理论循环：1) 压缩过程是按等熵进行的；2) 不考虑制冷剂在流动时的摩擦损失；3) 制冷系统中除冷凝器、蒸发器和热交换器外，其余部分和外界没有热量交换。

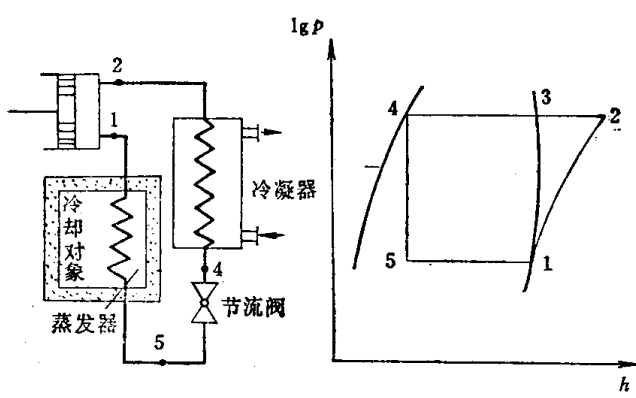


图79·2-1 单级无回热理论循环

图79·2-1 为单级无回热理论循环的流程图和压焓图。循环由等熵压缩（1—2）、等压冷却及冷凝（2—3—4）、等焓节流（4—5）和等压蒸发（5—1）四个过程组成。

循环的特性指标：

单位质量制冷量 节流后1公斤制冷剂在蒸发系统中吸取的热量，简称单位制冷量。

$$q_0 = h_1 - h_4 \quad \text{kcal/kg} \quad (79\cdot2-1)$$

式中 h_1 ——吸气状态时制冷剂的焓值 kcal/kg

h_4 ——节流阀前制冷剂的焓值 kcal/kg

单位容积制冷量 相当于吸气状态下1 m³的制冷剂在流经蒸发系统时所吸取的热量。

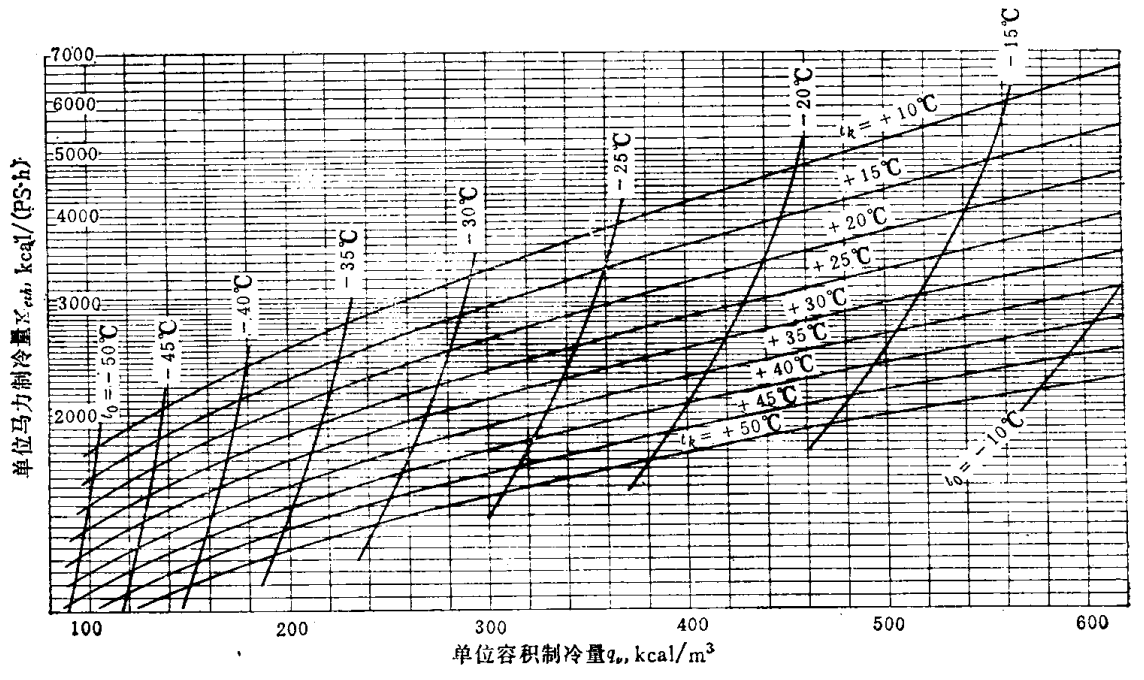
$$q_v = \frac{q_0}{v_1} = \frac{h_1 - h_4}{v_1} \quad \text{kcal/m}^3 \quad (79\cdot2-2)$$

式中 v_1 ——制冷剂在吸气状态时的比容 m³/kg

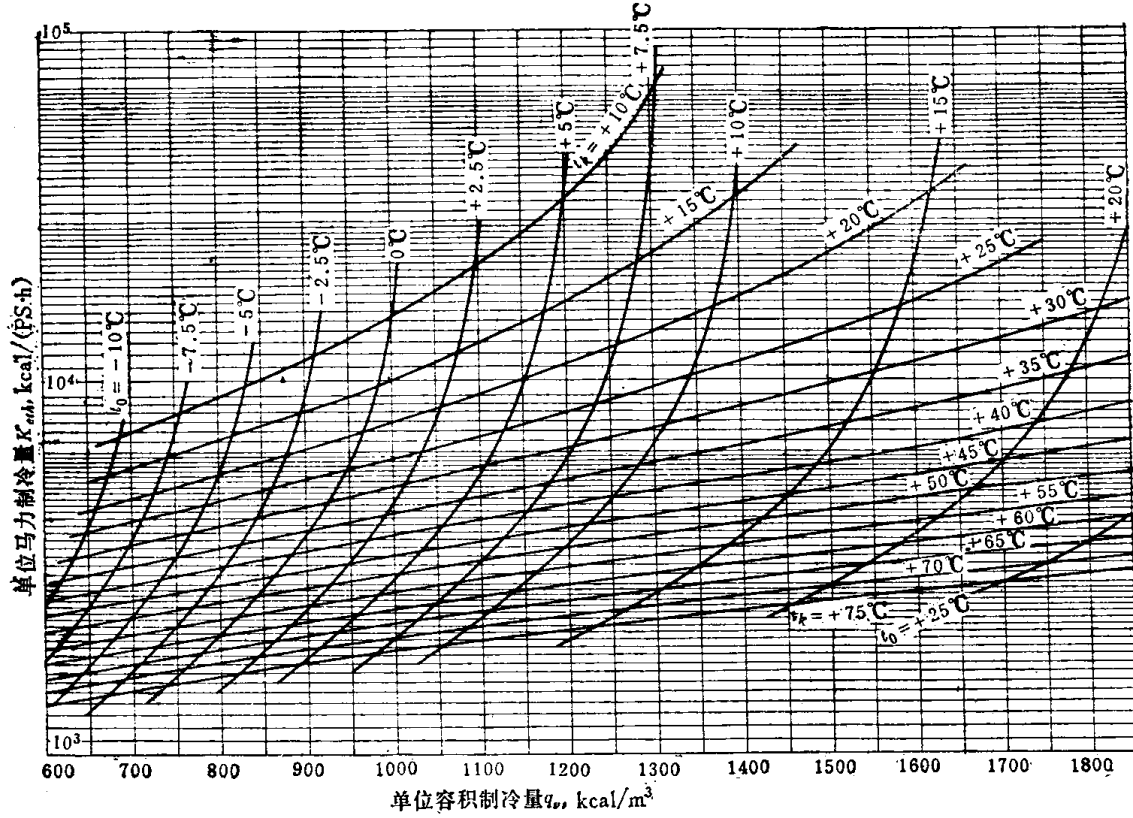
单位理论功 制冷剂循环量为1公斤时，消耗于理论循环的功。一般以热量 AI_{th} 表示，因为制冷机在节流过程中不作外功，故 AI_{th} 等于压缩过程中所消耗的功。

$$AI_{th} = h_2 - h_1 \quad \text{kcal/kg} \quad (79\cdot2-3)$$

式中 h_2 ——压缩终了时制冷剂的焓值 kcal/kg



a) 高温



b) 低温

图79-2-2 NH₃制冷机理论循环的 K_{ethyl} 和 q_v

单位冷凝热量 1公斤压缩后的制冷剂在冷凝器中被冷却和冷凝时所放出的热量。

$$q_k = h_2 - h_4 \text{ kcal/kg} \quad (79 \cdot 2 \cdot 4)$$

制冷系数 单位制冷量和单位功的热当量之比。在相同的温度条件下，制冷系数越大，循环的经济性越好。

$$\varepsilon_{th} = \frac{q_0}{Al_{th}} \quad (79 \cdot 2 \cdot 5)$$

热力完善度 在相同的温度条件下，制冷循环的制冷系数和逆卡诺循环的制冷系数之比。它表示循环接近逆卡诺循环的程度。热力完善度的数值越接近1，表示循环的经济性越好。

$$\eta_{th} = \frac{\varepsilon_{th}}{\varepsilon_k} = \frac{h_1 - h_4}{h_2 - h_1} \cdot \frac{T_1 - T_2}{T_2} \quad (79 \cdot 2 \cdot 6)$$

式中 η_{th} —— 热力完善度

T_1 —— 环境介质的绝对温度 K

T_2 —— 被冷却物体的绝对温度 K

制冷机的性能指标：

制冷机的制冷量

$$Q_0 = Gq_0 \text{ kcal/h} \quad (79 \cdot 2 \cdot 7)$$

式中 G —— 制冷剂的循环量 kg/h

冷凝器的热负荷

$$Q_k = Gq_k \text{ kcal/h} \quad (79 \cdot 2 \cdot 8)$$

压缩机的理论功率

$$N_{th} = \frac{GAl_{th}}{860} \text{ kW} \quad (79 \cdot 2 \cdot 9)$$

压缩机的输气量

$$V_{th} = \frac{Q_0}{q_v} = Gv_1 \text{ m}^3/\text{h} \quad (79 \cdot 2 \cdot 10)$$

单位功率制冷量 循环中每消耗一千瓦功率所获得的制冷量。是评价循环经济性的一个指标。

$$K_{eth} = \frac{Q_0}{N_{th}} = 860\varepsilon_{th} \text{ kcal/(kW}\cdot\text{h}) \quad (79 \cdot 2 \cdot 11)$$

制冷机的热平衡关系式：

$$q_k = q_0 + Al_{th} \text{ kcal/kg} \quad (79 \cdot 2 \cdot 12)$$

图 79·2·2~4 给出了理论循环时 NH₃、R22 和 R12 的 q_v 值和 K_{eth} 值。

b. 实际循环 在实际循环中，考虑了理论循环里被忽略的一些实际因素，此外，高温热源（冷却介质）及低温热源（被冷却物体）与制冷剂进行热交换时必然存在着温差。图 79·2·5 示出由下列各实际过程组成的循环：蒸气流过吸气阀时的过程 1—a；蒸气在压缩前受到气缸壁加热的过程 a—b；压缩时的实际过程 b—c；蒸气流过排气阀时的过程 c—2；有压力损失和传热温差的冷却、冷凝和过冷过程 2—e；在节流阀中的实际过程 e—f；有压力损失和传热温差的蒸发过程 f—g；由蒸发器出口流至吸气阀前的过程 g—1。

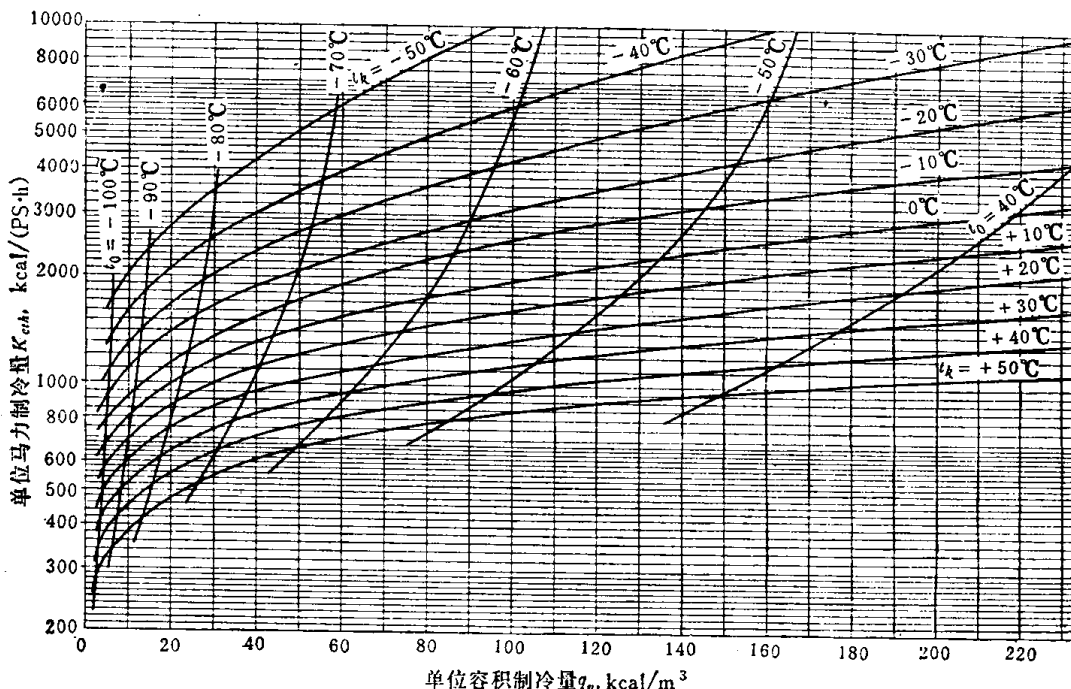


图 79·2·3 R22 制冷机理论循环的 K_{eth} 和 q_v